



Sistema trampolín / cuerpo rígido

Trabajo Práctico - Simulación de Sistemas

Equipo 9

Marcantonio - 56288 | Raies - 56099 | Saqués - 56047

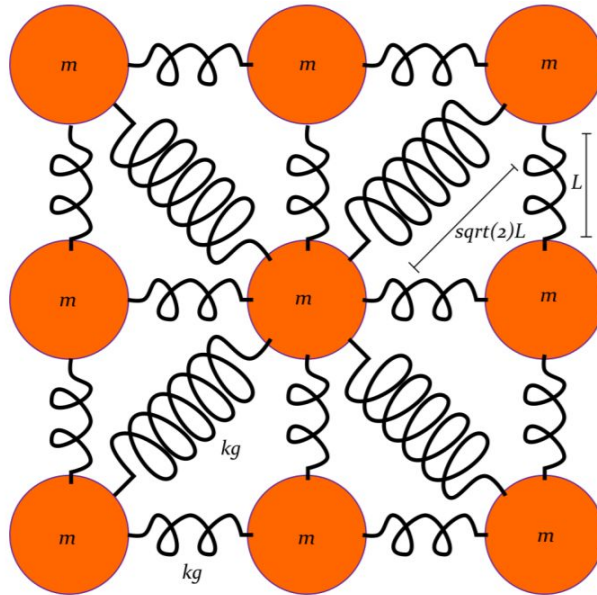
Sistema físico y Modelización



Modelo del trampolín

- El trampolín ha sido modelizado como una grilla bidimensional de partículas de igual radio y masa, separadas por una distancia L establecida por el usuario, enlazadas a sus ocho vecinos con resortes de constante elástica k_{grid} .
- Las dimensiones de la grilla también son parametrizables.

Modelo del trampolín





Sistema físico del trampolín

- Las fuerzas aplicadas a cada partícula se pueden subdividir en elásticas y viscosas. Las fuerzas elásticas siguen la Ley de Hooke:

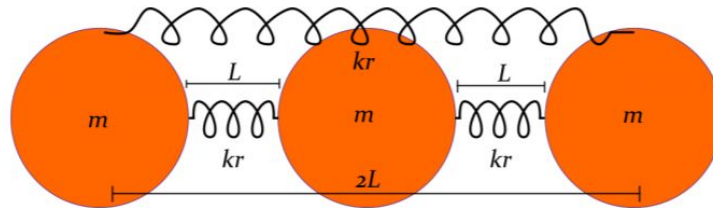
$$F_{el(i,j)} = -k_{grid} * (d_{(i,j)} - L) * \vec{r}_{i,j}$$

- Por otro lado, las fuerzas viscosas siguen una forma proporcional a la velocidad de la partícula, según la fórmula:

$$F_{vi(i)} = -b_{grid} * \vec{V}.$$

Modelo del cuerpo rígido

- El cuerpo rígido se ha modelado como una serie de masas de radio r , unidas por resortes donde $k_{rigid} \gg k_{grid}$.





Colisiones entre partículas del trampolín y del cuerpo rígido

- Las colisiones entre partículas pueden dividirse en normales y tangenciales. Las fuerzas normales siguen la forma:

$$F_{N(i,j)} = -k_n \xi_{i,j} \vec{n}_{i,j}$$
$$\xi_{i,j} = R_i + R_j - \|\vec{r}_i - \vec{r}_j\|$$

- Las fuerzas tangenciales se definen de la siguiente forma:

$$F_{T(i,j)} = -k_t \xi_{i,j} [(\vec{v}_i - \vec{v}_j) \cdot \vec{t}_{i,j}] \vec{t}_{i,j}$$

Implementación



Arquitectura

- Simulación : CUDA/C++ (GPGPU)
- Animación : OVITO
- Gráficos: Octave



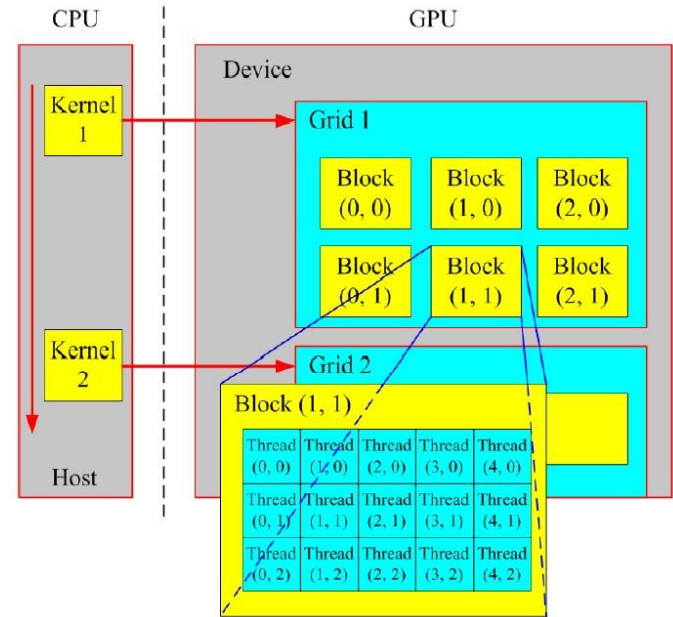
GPGPU

- El concepto GPGPU se basa en la implementación de funciones conocidas como kernels, nombre que surge de las matrices de convolución habitualmente utilizadas en aplicaciones gráficas.
- Estos kernels son unidades de código ejecutadas paralelamente por unidades de procesamiento de alto throughput como son las GPUs .

Invocación de *kernels*

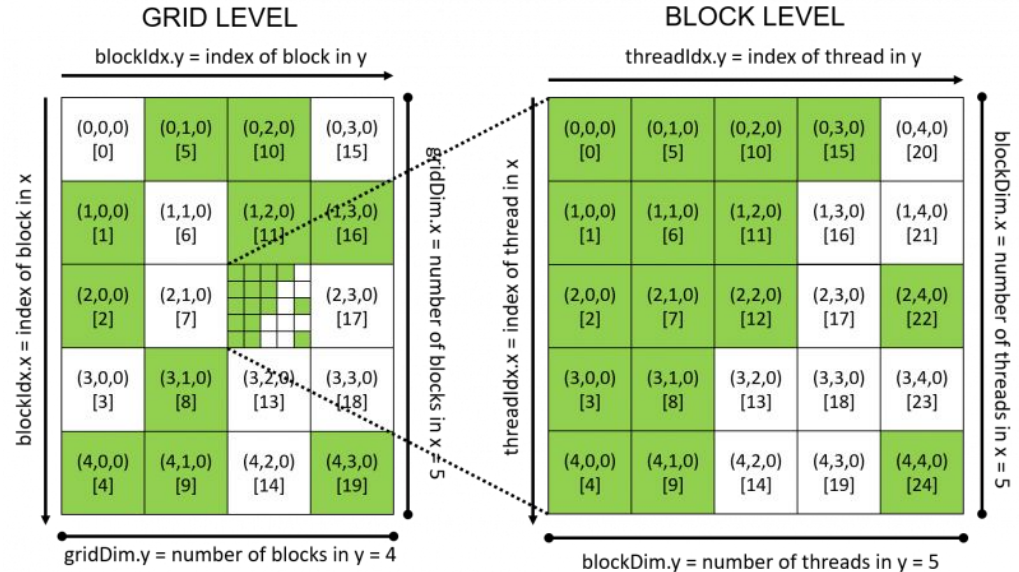
```
gridElasticForce<<<Dg,Db,Ns,S>>>(grid_dev,...);
```

- ***dim3 Dg***: dimensiones de la grilla
- ***dim3 Db***: dimensiones del bloque
- ***size_t Ns***: tamaño de la memoria compartida
- ***cudaStream_t S***: el *stream* asociado



Contexto de cada *thread*

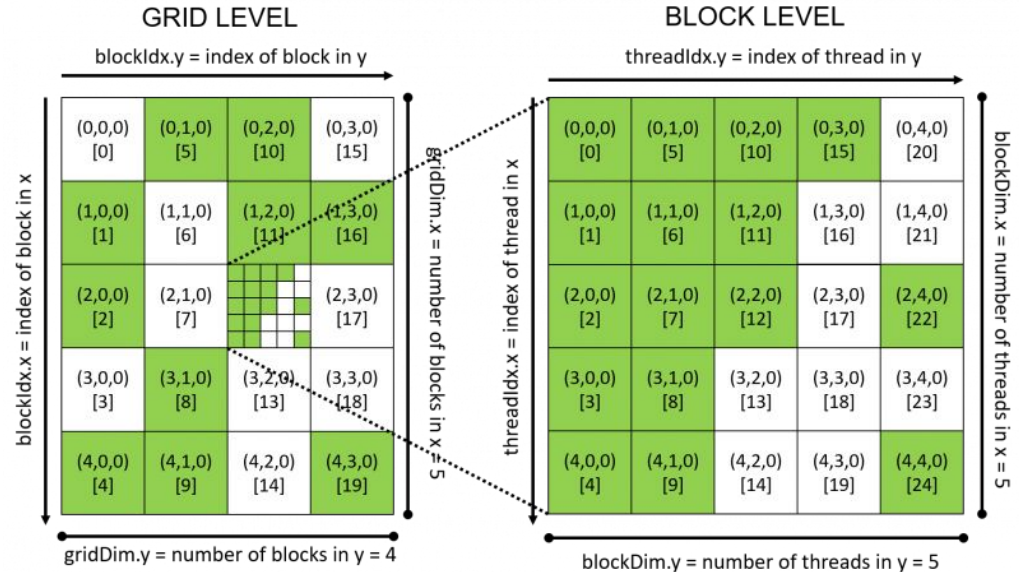
- *dim3* `blockDim`:
dimensiones del *block*
- *dim3* `blockIdx`: posición
del *block* dentro de la
grid
- *dim3* `threadIdx`: posición
del *thread* dentro del
block



Contexto de cada *thread*

- ***dim3* blockDim:**
dimensiones del *block*
- ***dim3* blockIdx:** posición del *block* dentro de la *grid*
- ***dim3* threadIdx:** posición del *thread* dentro del *block*

Índices: $\text{blockIdx} * \text{blockDim} + \text{threadIdx}$



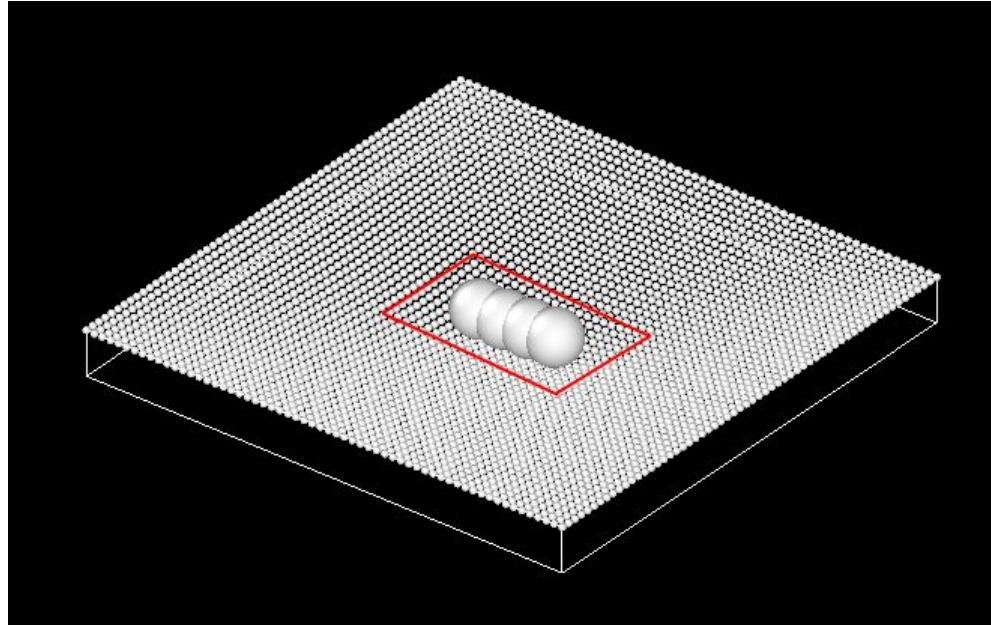


Integración: *Verlet*

$$\begin{aligned}x(t + \Delta t) &= x(t) + v(t) \Delta t + \frac{1}{2} a(t) \Delta t^2 \\a(t + \Delta t) &= f(x(t + \Delta t)) \\v(t + \Delta t) &= v(t) + \frac{1}{2} (a(t) + a(t + \Delta t)) \Delta t\end{aligned}$$

- `verletPositions<< <dimGrid, dimBlock >> >(grid,delta_t):`
- `gridElasticForce<< <dimGrid, dimBlock >> >(grid, k, b, natural)`
- `computeBigMassForces(big, big_size, grid, sep, kn, kt, sep_big, kbig, bbig);`
- `updateEulerBigMass(big,big_size, grid, delta_t,sep_big, g_earth);`
- `verletVelocities << <dimGrid, dimBlock >> > (grid, delta_t);`

Colisiones entre los cuerpos y la grilla: área



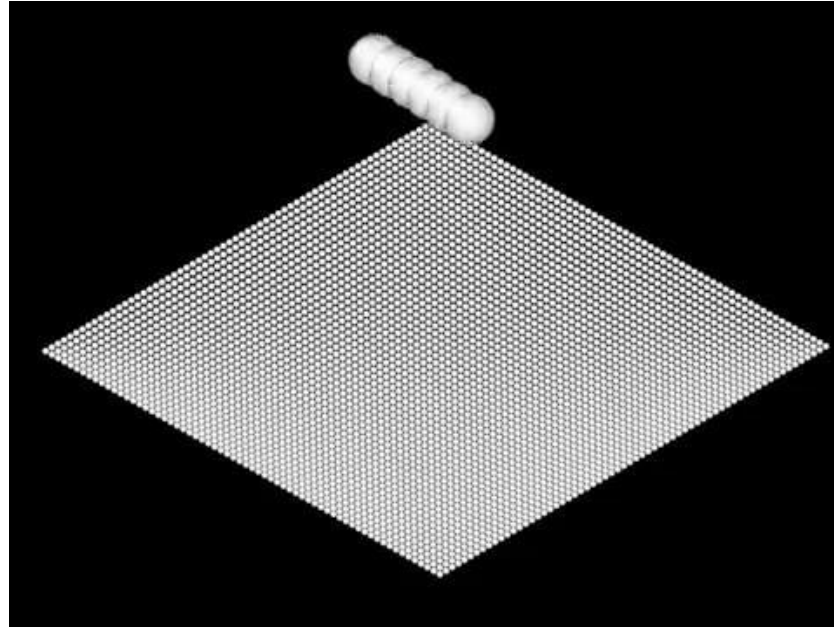
Resultados

Parámetros

- Método = verlet
- $t_{sim} = 5s$
- $\Delta t = 0,0001 s$
- filas = 64
- columnas = 64
- separación horizontal en la grilla = 0,05 m
- masa de partículas de la grilla = 0,001 kg
- radio de partículas de la grilla = 0,02 m
- $g = 9,81 m/s^2$
- tamaño del cuerpo rígido = 6
- $k_{rígido} = 1 * 10^7 N/m$
- $k_{grilla} = 2500 N/m$
- $b_{grilla} = 0,5$
- masa por partícula del cuerpo rígido = 0,5 kg
- radio por partícula del cuerpo rígido = 0,15 m
- $k_n = 1 * 10^5 N/m$
- $k_t = 1 * 10^3 N/m$
- separación entre partículas del cuerpo rígido = 0,15 m
- $h = 6 m$ y $\Theta = 45^\circ$



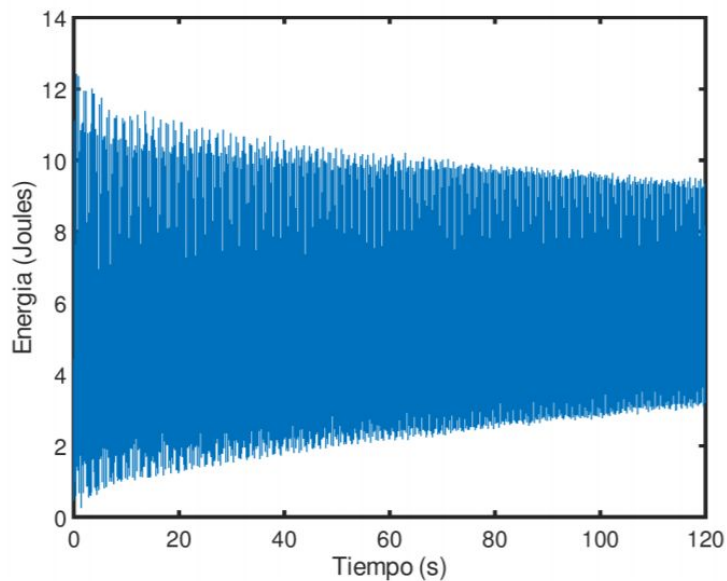
Output



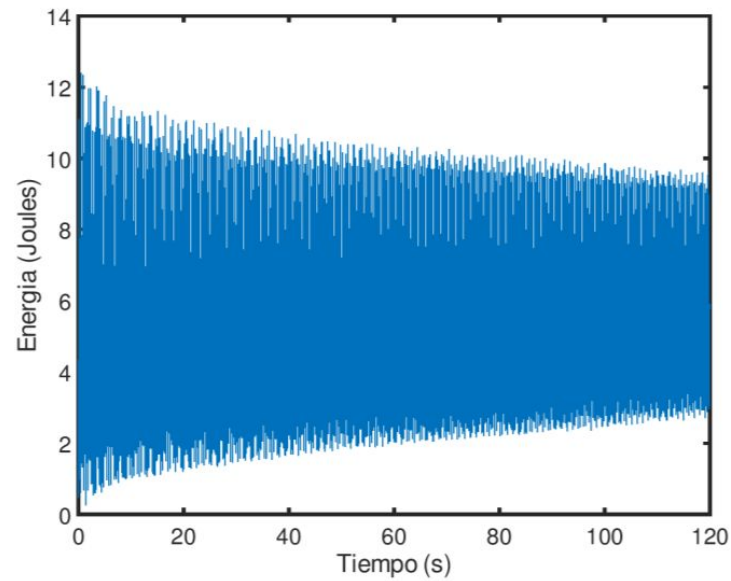
Métodos de integración y conservación de la energía

- $t_{\text{sim}} = 120\text{s}$
- $\Delta t = 0,001\text{ s}$
- filas = 32
- columnas = 32
- separación horizontal en la grilla= 0,05 m
- masa de partículas de la grilla= 0,01 kg
- radio de partículas de la grilla= 0,02 m
- $g = 9,81\text{ m/s}^2$
- $k_{\text{grilla}} = 3000\text{ N/m}$
- $b_{\text{grilla}} = 0\text{ Kg/s}$

Métodos de integración y conservación de la energía

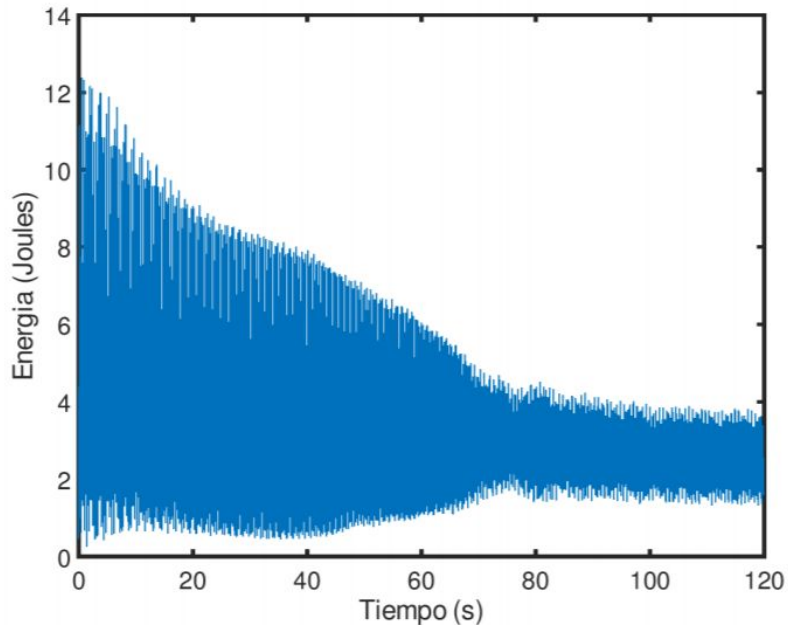


- Euler



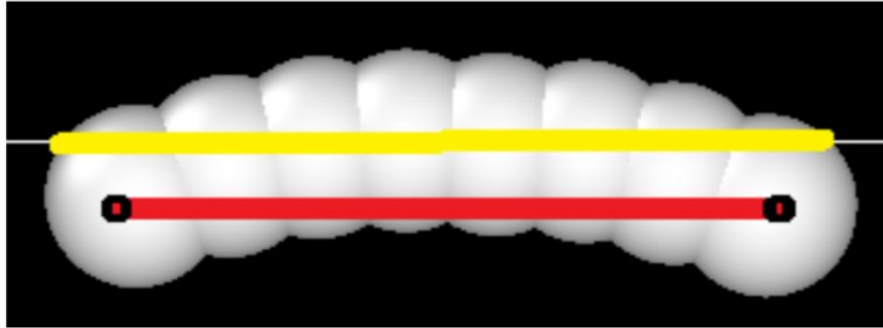
- Verlet

Métodos de integración y conservación de la energía



- *Runge-Kutta 4* a diferencia de *Euler* y *Verlet* fue el método que perdió energía más rápidamente

Análisis de la deformación del cuerpo rígido



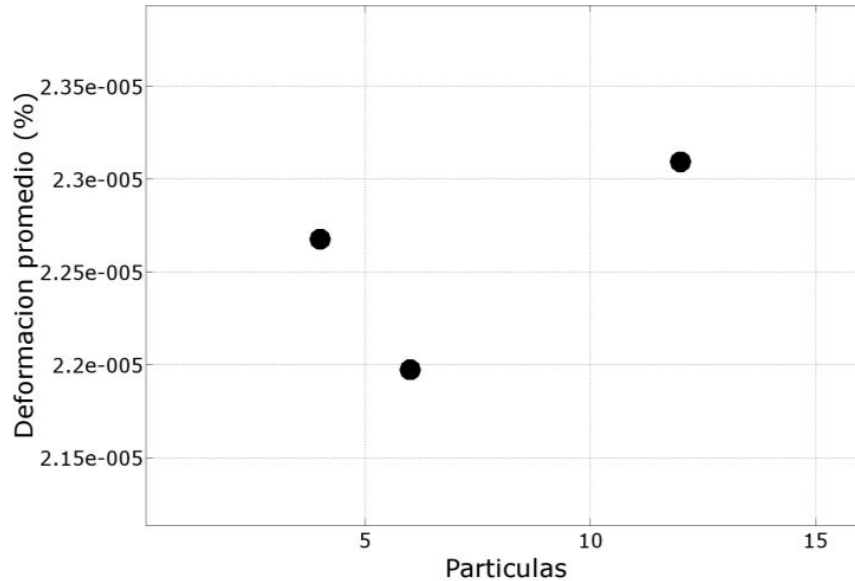
$$Deform = \frac{L(N - 1)}{dst(\vec{r}_0, \vec{r}_{N-1})}$$

- Deform promedio
- Deform máxima

Análisis de la deformación del cuerpo rígido

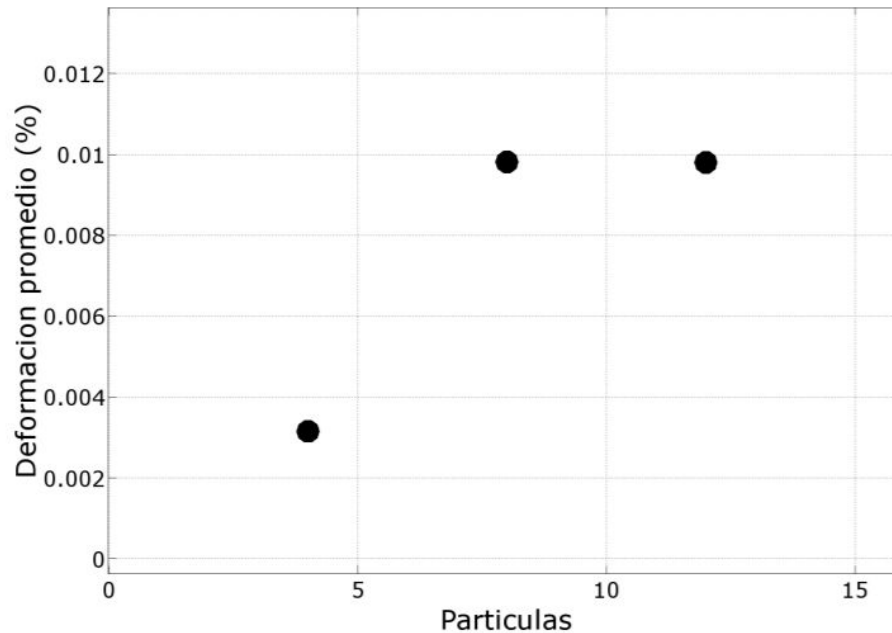
- Método = verlet
- $t_{sim} = 5s$
- $\Delta t = 0,0001 s$
- filas = 60
- columnas = 60
- separación horizontal en la grilla = 0,05 m
- masa de partículas de la grilla = 0,001 kg
- radio de partículas de la grilla = 0,02 m
- $g = 9,81 m/s^2$
- $k_{grilla} = 3000 N/m$
- $b_{grilla} = 0,5 Kg/s$
- masa por partícula del cuerpo rígido = 0,5 kg
- radio por partícula del cuerpo rígido = 0,15 m
- $k_n = 1 * 10^5 N/m$
- $k_t = 1 * 10^3 N/m$
- separación entre partículas del cuerpo rígido = 0,15 m
- $h = 3m$ y $\Theta = 0^\circ$

Análisis de la deformación del cuerpo rígido



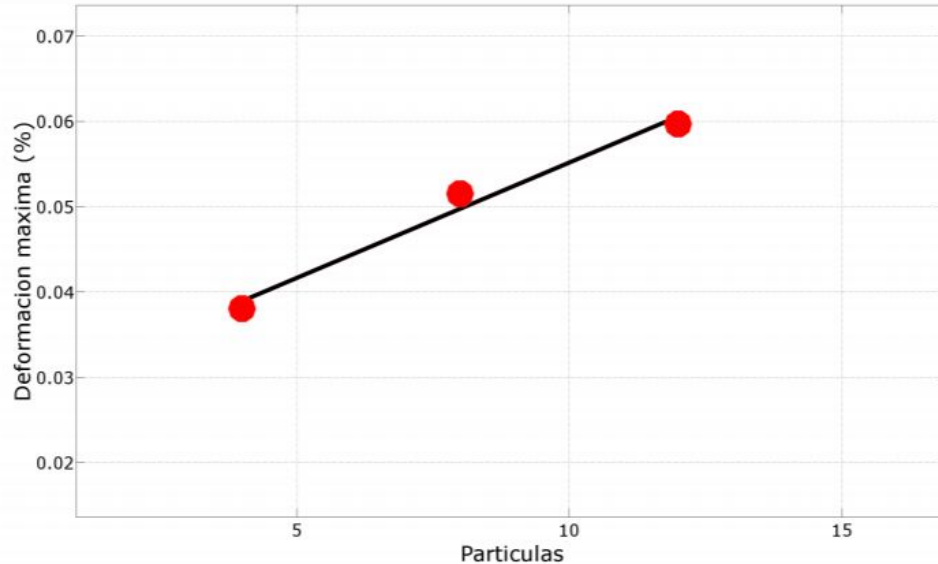
- $k_{rigid} = 1 * 10^7$ N/m
- 4, 6 y 12 partículas
- Deformación insignificante

Análisis de la deformación del cuerpo rígido



- $k_{rigid} = 1 * 10^3 \text{ N/m}$
- 4, 8 y 12 partículas
- Deformación promedio entre 4 y 10%

Análisis de la deformación del cuerpo rígido

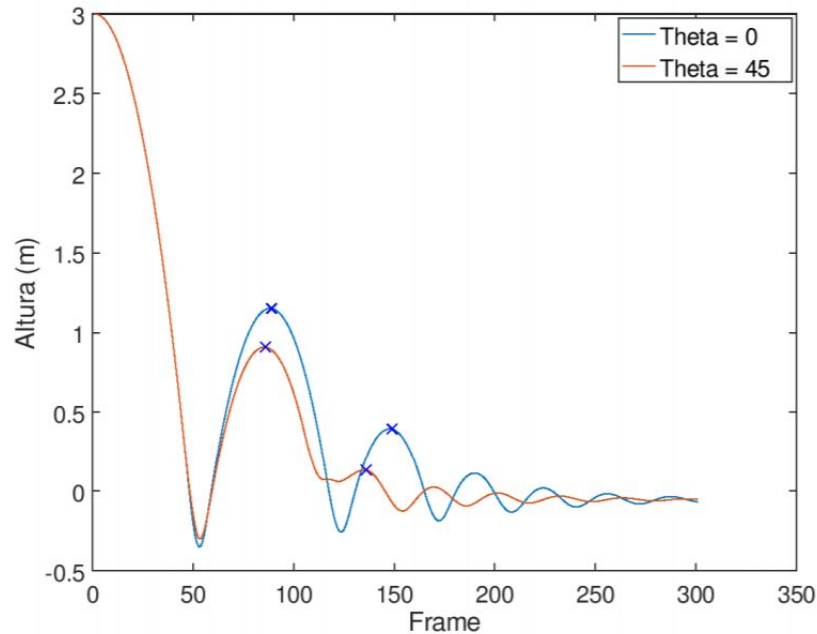


- Tendencia lineal
- $y = 0.002705x + 0.0281033$

Alturas alcanzadas variando la orientación del cuerpo rígido

- Método = verlet
- $t_{sim} = 5s$
- $\Delta t = 0,0001 s$
- filas = 64
- columnas = 64
- separación horizontal en la grilla = 0,05 m
- masa de partículas de la grilla = 0,001 kg
- radio de partículas de la grilla = 0,02 m
- $g = 9,81 m/s^2$
- tamaño del cuerpo rígido = 6
- $k_{rígido} = 1 * 10^7 N/m$
- $k_{grilla} = 2500 N/m$
- $b_{grilla} = 0,5 Kg/s$
- masa por partícula del cuerpo rígido = 0,5 kg
- radio por partícula del cuerpo rígido = 0,15 m
- $k_n = 1 * 10^5 N/m$
- $k_t = 1 * 10^3 N/m$
- separación entre partículas del cuerpo rígido = 0,15 m

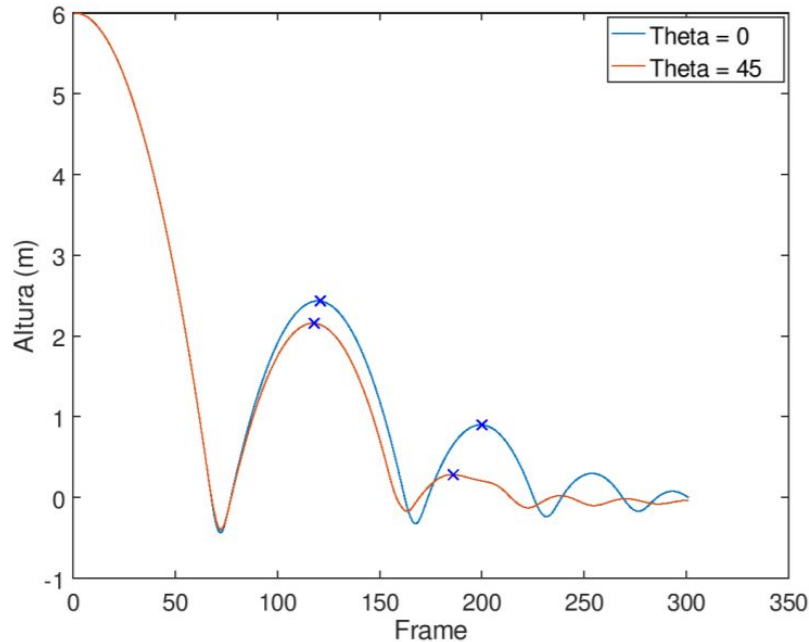
Alturas alcanzadas variando la orientación del cuerpo rígido



- $h = 3\text{m}$

$\max(\Theta = 0)$	Idx	$\max(\Theta = 45)$	Idx	Rel
1.152 m	89	0.909 m	86	1.267
0.396 m	149	0.133 m	136	2.986

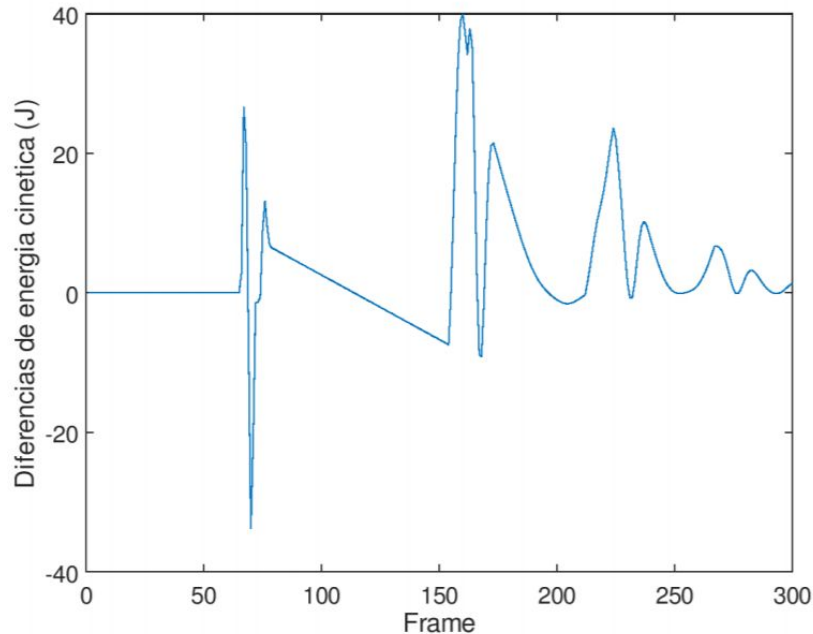
Alturas alcanzadas variando la orientación del cuerpo rígido



- $h = 6\text{m}$

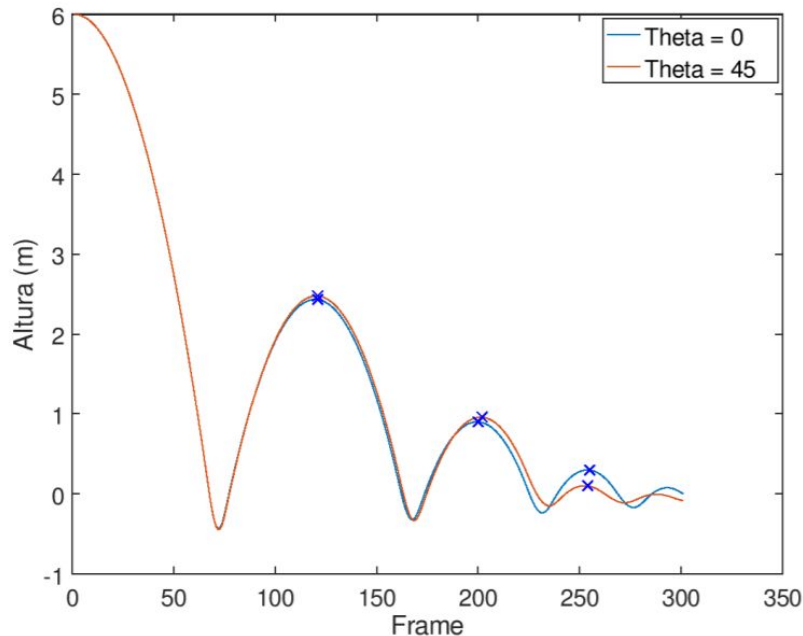
$max(\Theta = 0)$	Idx	$max(\Theta = 45)$	Idx	Rel
2.434 m	121	2.157 m	118	1.128
0.899 m	200	0.283 m	186	3.172

Alturas alcanzadas variando la orientación del cuerpo rígido



- Diferencia en la energía cinética entre el cuerpo no inclinado y el inclinado

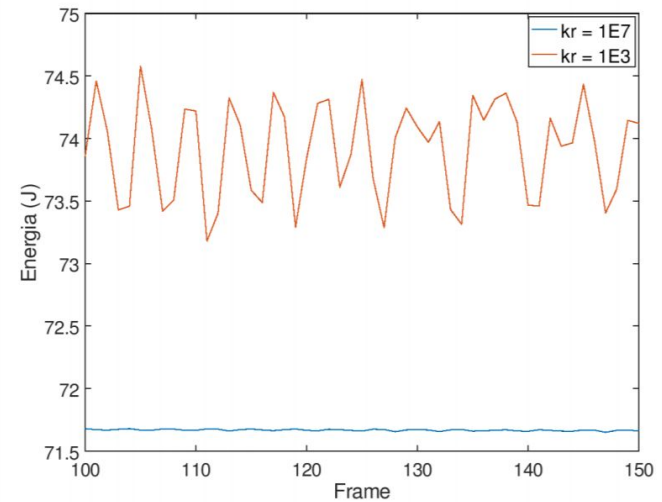
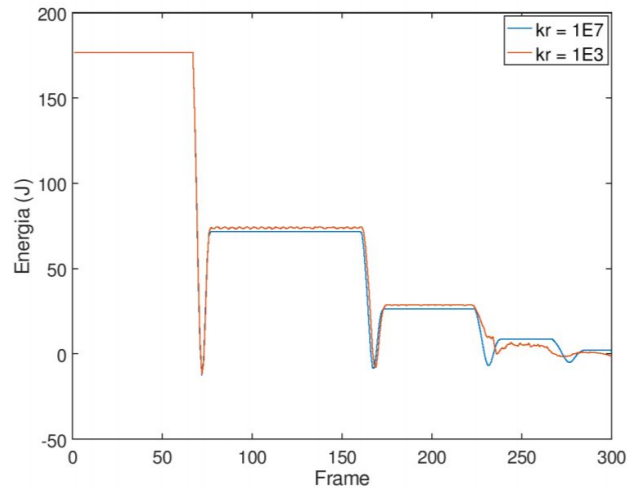
Alturas alcanzadas variando la constante elástica del cuerpo rígido



- $k \text{ rígido} = 1 \cdot 10^3 \text{ N/m}$
- $h = 6\text{m}$


$max(k_{1E7})$	Idx	$max(k_{1E3})$	Idx	Rel
2.434 m	121	2.478 m	121	0.982
0.899 m	200	0.958 m	202	0.939
0.297 m	255	0.101 m	254	2.943

Alturas alcanzadas variando la constante elástica del cuerpo rígido



Comparación de la energía total

Conclusiones

- 
- Runge-Kutta 4 tiene mayor pérdida de energía que tanto Velocity Verlet como Euler.
 - La deformación del cuerpo rígido, de la forma que se planteó en este trabajo, se ve más afectada por variaciones de la constante k_{rigid} si bien se ha observado una relación de tipo lineal entre esta deformación y dicha constante.
 - Se notó que la deformación máxima se ve afectada por la cantidad de partículas de forma directa.
 - Se ha comprobado que a iguales alturas iniciales pero diferentes orientaciones, los cuerpos rígidos alcanzan picos de altura diferentes